

2021~2022 学年高三 9 月质量检测巩固卷

地 理

考生注意：

1. 本试卷分选择题和非选择题两部分。满分 100 分，考试时间 90 分钟。
2. 答题前，考生务必用直径 0.5 毫米黑色墨水签字笔将密封线内项目填写清楚。
3. 考生作答时，请将答案答在答题卡上。选择题每小题选出答案后，用 2B 铅笔把答题卡上对应题目的答案标号涂黑；非选择题请用直径 0.5 毫米黑色墨水签字笔在答题卡上各题的答题区域内作答，**超出答题区域书写的答案无效，在试题卷、草稿纸上作答无效。**
4. 本试卷主要命题范围：区域地理+人教版必修 1 第一至二章。

一、选择题：本大题共 22 小题，每小题 2 分，共 44 分。在每小题给出的四个选项中，只有一个选项是符合题目要求的。

北京时间 2021 年 7 月 29 日 12 时 01 分，我国在酒泉卫星发射中心用“长征二号丁”运载火箭，成功将“天绘一号 04 星”发射升空，卫星顺利进入预定轨道，发射任务获得圆满成功。据此完成 1~2 题。

1. 下列对“天绘一号 04 星”工作影响程度最大的是
A. 极光现象 B. 耀斑爆发 C. 太阳辐射 D. 流星现象
2. “天绘一号 04 星”成功发射后多长时间全球大致处于同一天
A. 4 小时 B. 8 小时 C. 12 小时 D. 16 小时

许多生物的生活具有规律性，隐含着一定时间规律，阿根廷(58°30'W)有一种花每天 20 时准时开放，被誉为“花钟”，除此之外还有“虫钟”“鸟钟”等。下表示意非洲热带丛林(15°29'E)“报时虫”颜色随时间变化。据此完成 3~4 题。

时间	23:00	0:00	1:00	2:00	3:00	4:00	5:00
颜色	草绿色	淡红色	金黄色	咖啡色	白色	暗绿色	绯红色
时间	6:00	——	12:00	13:00	14:00	15:00	——
颜色	玫瑰红	——	深红色	深绿色	浅黄色	暗红色	——

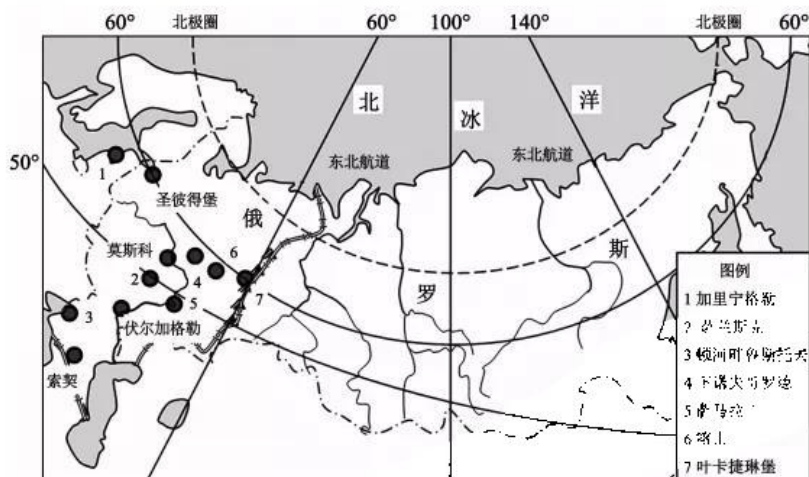
3. 当阿根廷“花钟”开放后 2 个小时，非洲“报时虫”的颜色是
A. 深绿色 B. 金黄色
C. 白色 D. 暗红色
4. 下列可能导致“报时虫”报时不准的是
A. 自转周期变短 B. 回归运动的周期变长
C. 黄赤交角变大 D. 昼夜长短的变幅变大

【高三 9 月质量检测巩固卷·地理 第 1 页(共 6 页)】

谷雨节气，“雨生百谷”，有利于谷物生长，于每年4月19日~21日交节。据此完成5~6题。

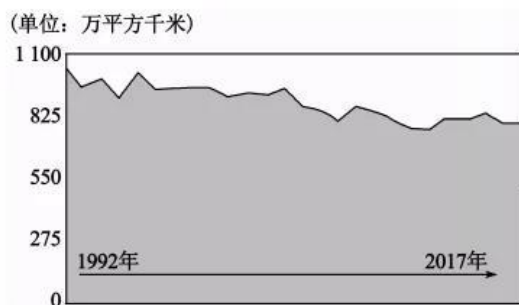
5. 与“谷雨”同样反映降水现象的节气是
A. 处暑 B. 春分 C. 立夏 D. 小雪
6. 对于北京居民而言，与谷雨正午太阳高度相等的日期最可能是
A. 2月21日 B. 6月22日 C. 8月25日 D. 10月24日

第21届世界杯足球赛于2018年6月14日至7月15日在俄罗斯举行，北京时间7月16日23时在莫斯科，决赛拉开大幕，最终法国队4:2击败克罗地亚队，夺得了2018俄罗斯世界杯冠军。下图示意俄罗斯世界杯赛场分布。读图完成7~8题。



7. 世界杯举办期间，下列城市中昼夜长短变化幅度最大的是
A. 圣彼得堡 B. 索契 C. 伏尔加格勒 D. 莫斯科
8. 世界杯决赛开始时，下列城市收看直播临近正午的是
A. 巴黎(2°E) B. 巴西利亚(48°W)
C. 东京(140°E) D. 洛杉矶(118°W)

2018年7月20日，中国第9次北极科学考察活动正式起航。下图示意1992~2017年北极海冰每年7月平均面积变化情况。读图完成9~10题。

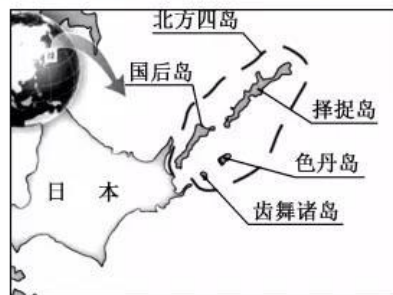


9. 1992~2017年间，北极海冰7月平均面积变化的趋势是
A. 变化不大 B. 波动减少 C. 缓慢增加 D. 持续减少
10. 海冰面积变化会导致
A. 北冰洋海域渔业捕捞量减少 B. 北冰洋全年都可顺利通航
C. 地球上热带与极区温差增大 D. 中纬度地区极端天气多发

位于日本北海道东北方向的北方四岛,有丰富的矿产和生物资源,附近海域是世界著名的渔场之一。北方四岛冬季常受过境气旋的影响,多暴风雪。右图示意北方四岛及周边地区。据此完成16~17题。

16. 冬季吸引气旋过境北方四岛的气压中心是

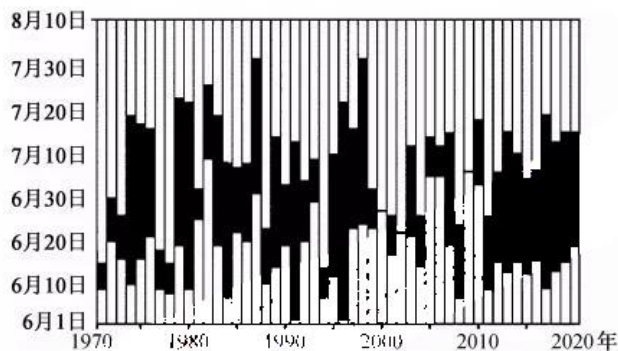
- A. 阿留申低压
- B. 亚洲高压
- C. 北太平洋副热带高压
- D. 亚洲低压



17. 北方四岛动植物资源丰富的主要原因包括

- ①山脉呈东北—西南走向
 - ②气候的海洋性强
 - ③地处中纬西风带
 - ④人类活动较少
- A. ①② B. ①③ C. ③④ D. ②④

“空梅”现象是指有些年份从初夏开始,长江中下游地区没有出现连续的阴雨天气,而是直接转入了盛夏。下图示意长江中下游梅雨开始(“入梅”)及结束(“出梅”)日期历史演变序列,据此完成18~19题。



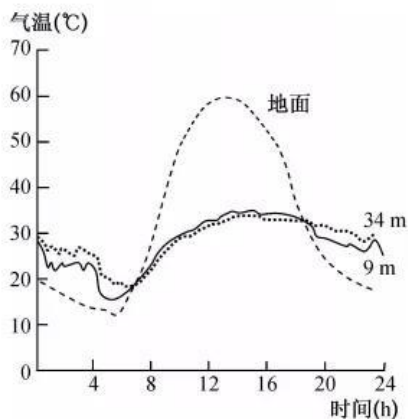
18. 据图判断,2002年

- A. 我国冷气团势力较强
- B. 西太平洋副高位置更偏南
- C. 我国夏季风势力过弱
- D. 黄河的防汛压力大大增加

19. 影响不同年份长江中下游地区“入梅”“出梅”时间差异的主要原因有

- ①盛行西风的强弱
 - ②夏季风的强弱
 - ③副极地低气压带的移动
 - ④西太平洋副高的强弱
- A. ①② B. ①③ C. ②④ D. ③④

下图示意某地7月份某日不同高度大气温度变化,据此完成20~22题。

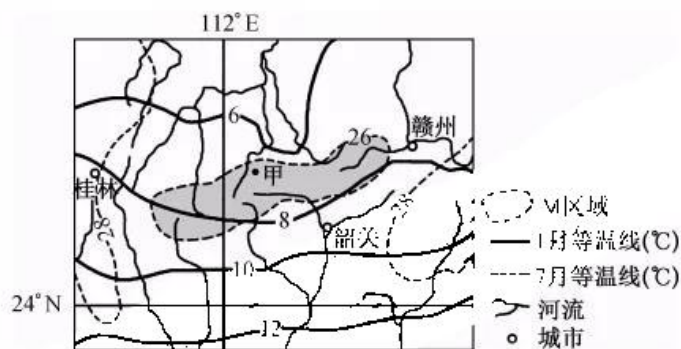


20. 该地最可能位于
- A. 赤道地区
B. 非洲西南部纳米布沙漠
C. 撒哈拉沙漠
D. 澳大利亚北部
21. 图示地区地面昼夜温差近 50°C , 其形成的主要原因是
- A. 区域大气污染严重
B. 植被覆盖率高
C. 人类活动干预强烈
D. 下垫面的热容量小
22. 据图判断该区域大气对流运动较显著的时段是
- A. 4~8 时
B. 12~16 时
C. 16~20 时
D. 20~24 时

二、非选择题: 共 56 分。

23. 阅读图文材料, 完成下列要求。(20 分)

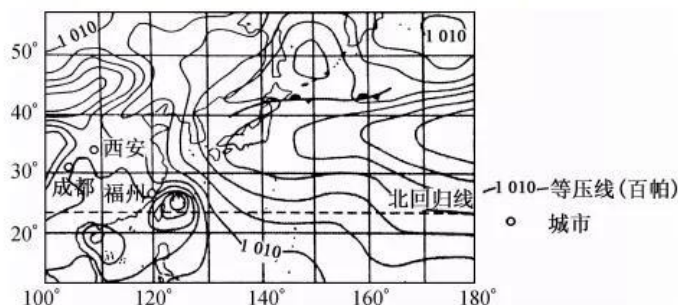
在新疆喀什(40°N , 73°E)的小张冬至日到甲地(25°N , 113°E)参加一个交流会。到达甲地时, 小张的手机显示冬至日甲地的日出时间是 7:02, 而此时喀什还是夜深人静。下图示意甲地及其周边地区。



- (1) 冬至日甲地日出时, 喀什还是夜深人静, 试分析其原因。(6 分)
- (2) 与周边地区相比, 判断图中 M 区域海拔高度的大小并说明判断依据。(8 分)
- (3) 说明图示区域 1 月气温的分布规律并分析原因。(6 分)

24. 阅读图文材料,完成下列要求。(18分)

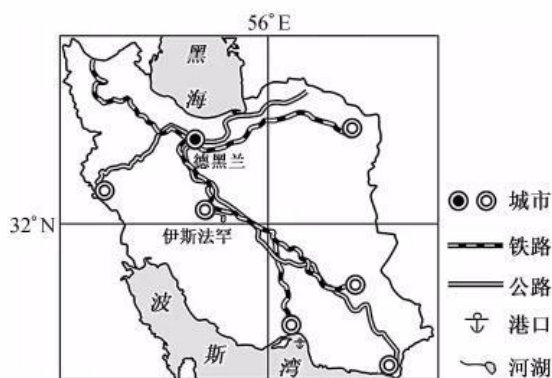
2020年第6号台风“米克拉”以每小时25千米左右的速度向西偏北方向移动,于8月11日上午在福建沿海登陆。下图为2020年8月11日02时世界局部区域海平面气压分布示意图。



- (1)描述图中我国东北地区等压线的分布特点。(6分)
- (2)比较成都与西安两地风力的大小并说明理由。(6分)
- (3)判断此次台风登陆后福建北部局部地区可能发生的地质灾害及原因。(6分)

25. 阅读图文材料,完成下列要求。(18分)

伊朗地毯生产已有2500多年的历史,伊斯法罕是伊朗波斯地毯的发源地。波斯地毯在原料选择、色泽调配、图案设计和编制技艺等方面的要求都极为严格;用料通常融合羊毛、棉、真丝、金丝和银丝等多种珍贵材料,染料则是从天然植物、矿物中提取,地毯历久而弥新。近年来,伊朗的地毯业发展迅速,现有超过500万人从事与地毯相关的行业,已经成为伊朗出口创汇的重要行业。下图示意伊斯法罕地理位置及其周边地区。



- (1)推测伊斯法罕生产波斯地毯的有利条件。(6分)
- (2)分析伊朗所产波斯地毯历久弥新的原因。(4分)
- (3)简述伊朗地毯业快速发展对该国的有利影响。(8分)

2021~2022 学年高三 9 月质量检测巩固卷·地理 参考答案、提示及评分细则

1. B 分析可知,“天绘一号 04 星”通过电磁波来传递信息,耀斑爆发时产生的电磁波进入地球电离层,引起电离层扰动,依靠电离层传播的无线电短波信号被部分或全部吸收。
2. B 全球大致处于同一天,应是 0 时经线与国际日期变更线重合,“天绘一号 04 星”成功发射时,国际日期变更线约为 16 时,约再经过 8 个小时全球大致处于同一天。
3. C 阿根廷“花钟”的开放时间为西四区 20 时,其开放后 2 个小时,非洲热带丛林(东一区)的区时为次日 3 时,非洲“报时虫”为白色。
4. A 非洲“报时虫”的变色指示了一天不同的时刻,和地球自转有关,若自转周期变短,即昼夜更替的周期变短,标准时间与“报时虫”变色时间出现偏差,导致“报时虫”报时不准。
5. D 分析可知,雨水、小满、大雪、小雪等节气都是反映降水现象的节气。
6. C 谷雨期间,太阳直射点位于北半球,6 月 22 日前后北京正午太阳高度达一年中最大值;8 月 25 日前后与谷雨节气大致关于夏至日对称,正午太阳高度相似。
7. A 世界杯举办期间太阳直射点位于北半球,北半球昼长夜短,且纬度越高,昼越长,昼夜长短变化幅度越大,结合图示信息可知,圣彼得堡的纬度最高,昼夜变化幅度最大。
8. B 依据材料提示的经度可知,四城市分别位于中时区、西三区、东九区、西八区,而北京位于东八区,再按标准时差推算,四城市的时间分别是:巴黎 15 时(下午),巴西利亚约 12 时(接近正午),东京 24 时(午夜),洛杉矶 7 时(清晨),推断巴西利亚符合条件。
9. B 由图可知,1992~2017 年间,北极海冰 7 月平均面积变化的波动减少。
10. D 由图可知,7 月北极海冰面积减少,改善了通航条件,赴北冰洋海域捕捞的渔船数量会增多,捕捞量也会随之增加。但是冬季北冰洋还是大面积冰封,很难通航。北极海冰面积减少是全球气候变暖导致的,目前北极变暖幅度高于其他地区,使得北极和热带地区的温度差减小,这也导致全球水循环异常,使得中纬度地区暴雨、极端炎热、干旱等极端天气多发。
11. A 甲地位于冷锋锋后,多阴雨天气;乙地位于暖锋锋后,多晴朗天气;丁、丙两地分别处于高压中心及高压脊上,以下沉气流为主,多晴朗天气。
12. C 根据等压线分布,可判断库奥岛和堪察加半岛均吹东北风,库奥岛的等压线比堪察加半岛密集,水平气压梯度力较大,风力更强劲。
13. D 甲气候类型全年受盛行西风带控制,为温带海洋性气候。温带海洋性气候在南极洲、非洲及亚洲没有分布;气候特点是冬暖夏凉,降水较多且季节分配均匀;以西欧及不列颠群岛地区最为典型。

【高三 9 月质量检测巩固卷·地理参考答案 第 1 页(共 2 页)】

14. A 乙气候类型受副热带高压带和盛行西风带交替控制,属于地中海气候。但全年中1~3月和9~12月受副热带高压带控制,说明该地位于南半球,因此最可能是位于南半球的地中海气候区。
15. B 丙气候类型受副热带高压带和信风带交替控制,形成热带沙漠气候,自然景观以荒漠为主。
16. A 冬季,阿留申低压位置南移,受其吸引,气旋常过境北方四岛。
17. D 北方四岛气候受海洋影响大,降水较多,气温适宜,利于动植物生存;人类活动较少,对生物多样性破坏小。
18. D 据图可知,2002年长江中下游地区出现“空梅”现象。“空梅”出现时,长江中下游地区直接进入盛夏,西太平洋副高位置更偏北,锋面雨带过早地控制了华北地区,降水充沛,使黄河水位大涨。
19. C 梅雨期的长短与夏季风的强弱有关,而夏季风的强弱受西太平洋副高强弱的影响。
20. C 由材料可知该地为该地,且地面气温在午后最高可达60℃左右,9 m和34 m高度气温也超过30℃,可判断该地位于北半球,最可能出现在撒哈拉沙漠。
21. D 沙漠地面的热容量小,白天大气削弱作用弱,太阳辐射强,气温上升快;晚上热量大量散失,大气保温作用弱,气温降得很低。
22. B 读图可知,12~16时地面温度高,且从近地面到高空气温越来越低,气温垂直递减率较大,最有利于大气对流,大气对流运动较显著;20~24时地面温度低于近地面大气温度,大气出现逆温现象,不利于大气对流,4~8时和16~20时两个时段内均有类似情况。
23. (1)喀什比甲地纬度高,此时为北半球冬季,黑夜比甲地长;喀什位于甲地西北方,日出时间比甲地晚。(6分)
- (2)海拔高度较大。(2分)依据:河流由M区域流向四周;7月气温比周边地区低。(6分)
- (3)分布规律:北低南高。(2分)原因:北部纬度较高,正午太阳高度较小,太阳辐射较弱(或南部纬度较低,正午太阳高度较大,太阳辐射较强);北部受冬季风影响较大(或南部受冬季风影响较小)。(4分)
24. (1)东部等压线数值大,西部小;等压线总体稀疏;大致呈南北向延伸。(6分)
- (2)西安小于成都;(2分)理由:西安等压线较成都稀疏,水平气压梯度力小,风力小。(4分)
- (3)可能发生的地质灾害:滑坡、泥石流等。(2分)原因:多山地丘陵,地势起伏大;台风带来强降雨,易引起滑坡、泥石流等地质灾害。(4分)
25. (1)生产历史悠久,技术娴熟;劳动力充足;畜牧业占农业比重小;原料丰富;品质优良;消费市场广阔等。(任答3点即可,6分)
- (2)原料品质高;染料防褪色的技术相同等。(任答2点即可,4分)
- (3)提供更多地就业岗位;利于特色文化传承;促进城市化进程;增加外汇收入;带动与地毯相关行业的发展等。(合理即可,8分)

关于我们

自主选拔在线是致力于提供新高考生涯规划、强基计划、综合评价、三位一体、学科竞赛等政策资讯的升学服务平台。总部坐落于北京，旗下拥有网站（[网址: www.zizzs.com](http://www.zizzs.com)）和微信公众平台等媒体矩阵，用户群体涵盖全国90%以上的重点中学师生及家长，在全国新高考、自主选拔领域首屈一指。

如需第一时间获取相关资讯及备考指南，请关注**自主选拔在线**官方微信号：**zizzsw**。

